

# Introduction aux vibrations non-linéaires

Aurélien GROLET

LISPEN – Arts et Métiers (Lille)



- Aurélien GROLET (aurelien.grolet@ensam.eu)
  - 2016: MCF au LISPEN à l'Ensam de Lille (Arts et Métiers)
  - 2014-2016: Post-doc à l'Imperial College London / Rolls Royces plc
  - 2013-2014: ATER à Centrale Lyon
  - 2010-2013: Thèse au LTDS à Centrale Lyon (dir. F. Thouverez)



Imperial College  
London



# Plan de la présentation

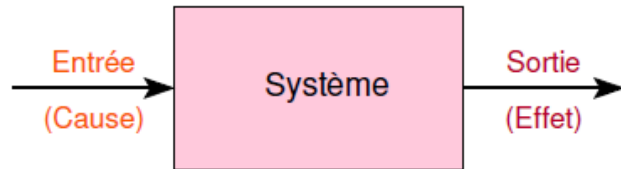
- Applications et types de non-linéarité en mécanique
- Modélisation et approximation linéaire
- Vibrations non-linéaires et calcul des solutions périodiques
- Vibrations non-linéaires: Phénoménologie
- Conclusion

# Applications et types de non-linéarité en mécanique

# Systèmes Linéaires

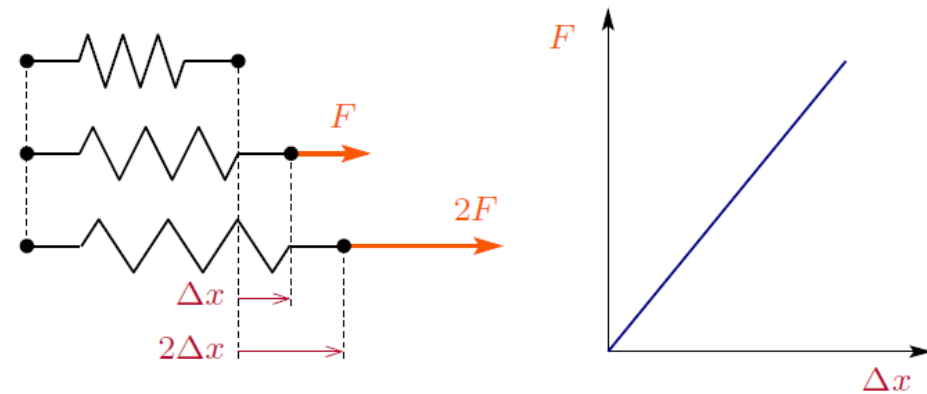
- Définition

“Un phénomène est *linéaire* lorsque un changement de l'intensité de la cause produit un changement de l'effet *dans les mêmes proportions*”



Ex.: ressort linéaire

$$F = k \Delta x$$



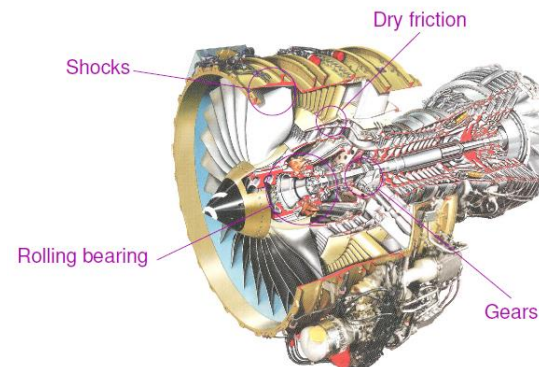
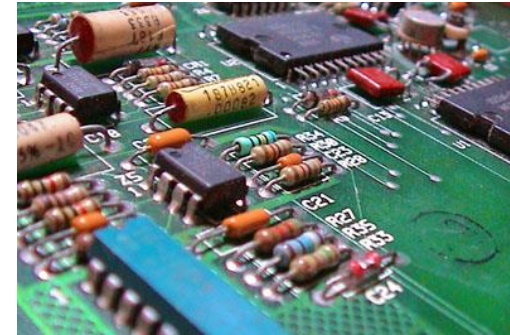
- Non-linéaire: tous ce qui n'est pas linéaire

# Dynamique non-linéaire

- Système caractérisé par un état  $y(t) \in R^n$
- Equation d'état sous la forme
$$\frac{dy}{dt} = g(y, t, \lambda)$$
- $g \in R^n$  fonction non linéaire par rapport à  $y$
- Théorie mathématique des systèmes dynamiques

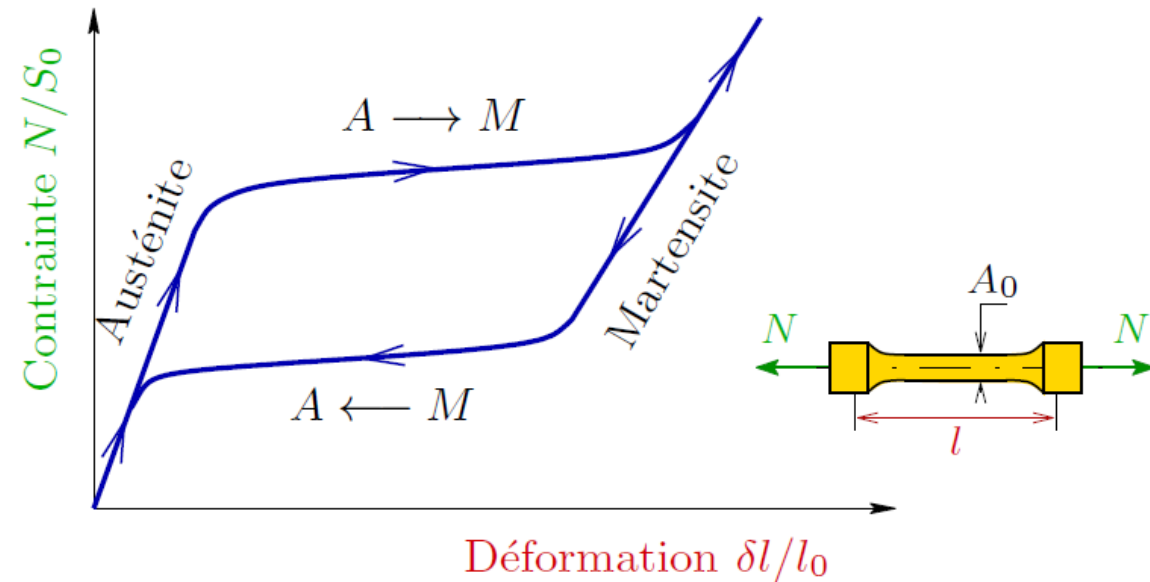
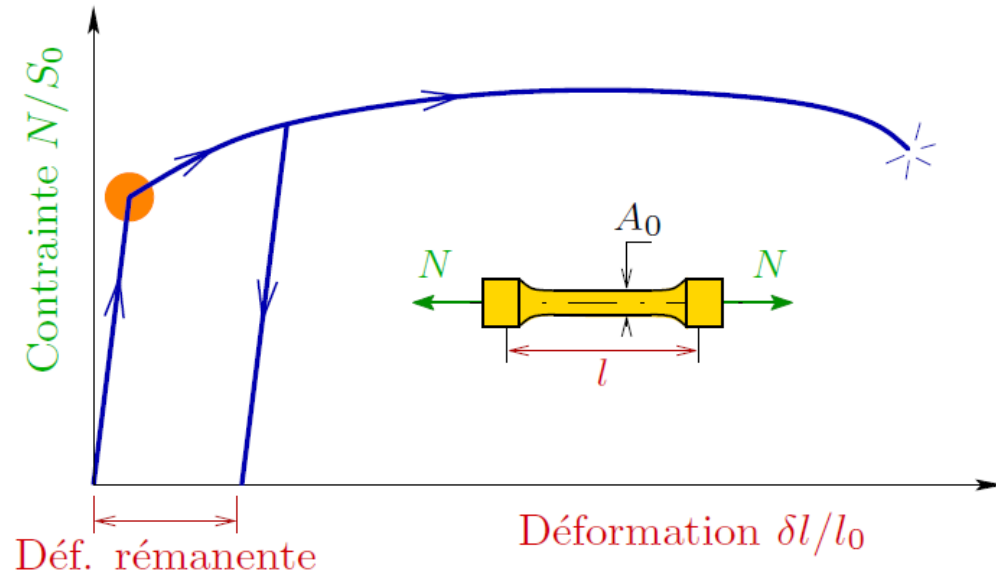
# Dynamique non-linéaire

- Applications
  - Chimie
  - Electronique
  - Halieutique
  - Economie
  - ...
  - Mécanique



# Non-linéarité en mécanique

- Non-linéarité matérielle

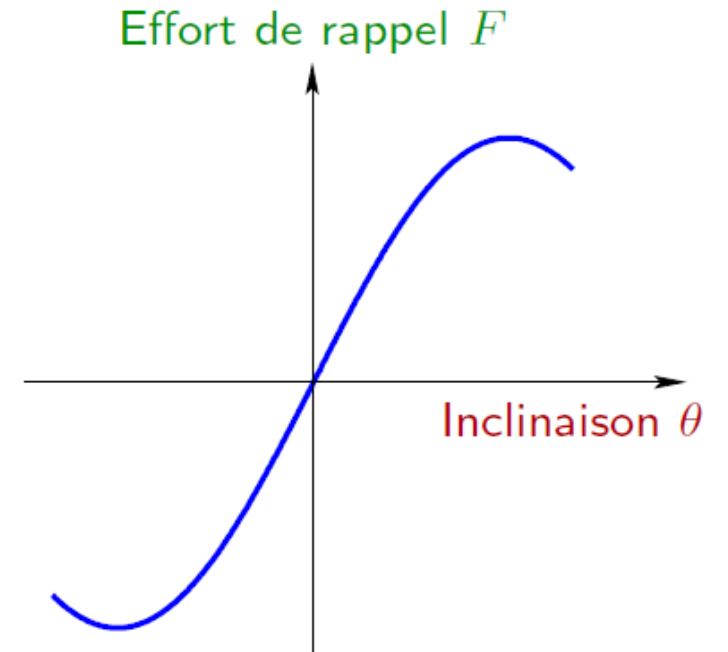
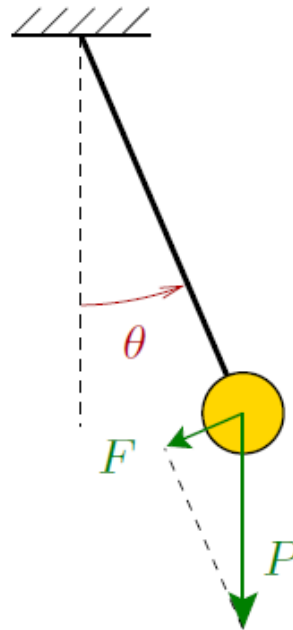




# Non-linéarité en mécanique

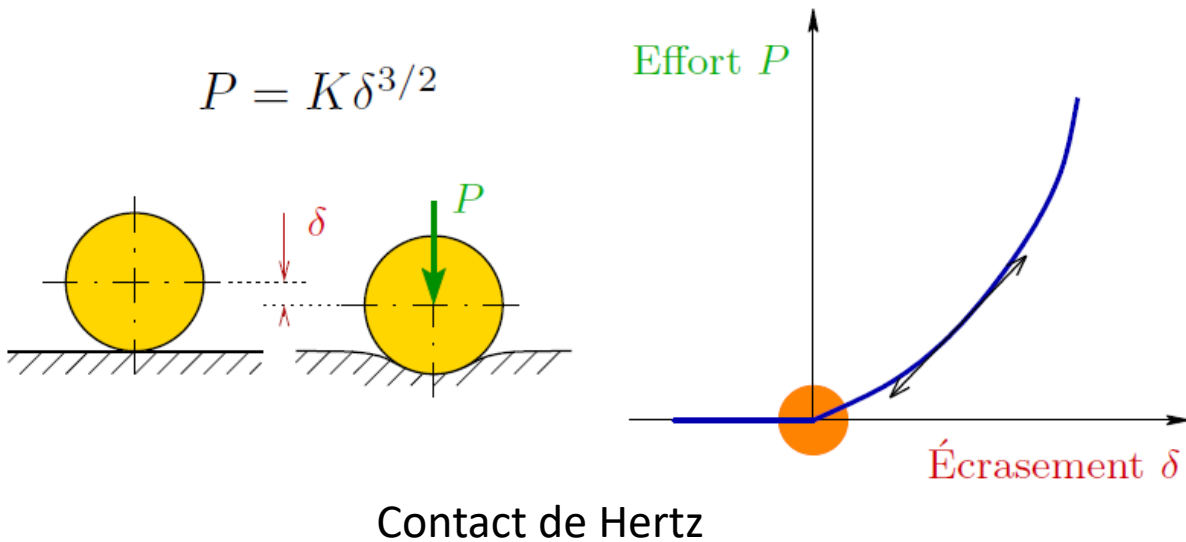
- Non-linéarité géométrique (grandes rotations / grands déplacements)
  - Systèmes articulés
  - Structures minces

$$\ddot{\theta} + \omega_0^2 \sin \theta = 0$$



# Non-linéarité en mécanique

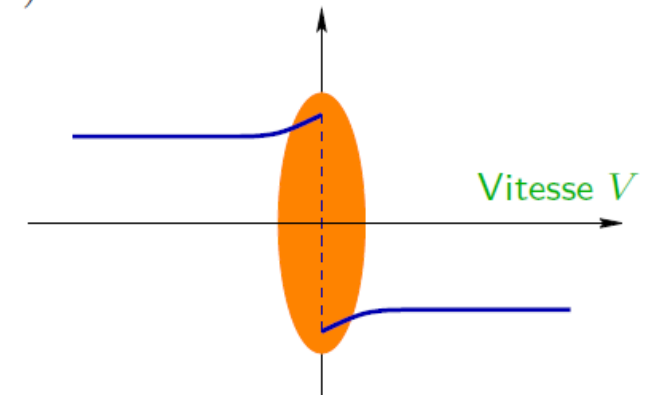
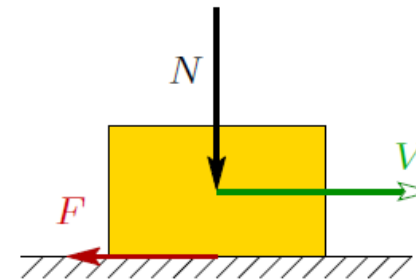
- Non-linéarité de contact, frottement



Frottement de coulomb

$$\begin{aligned} V < 0 &\implies F = +\mu(V) N \\ V = 0 &\implies |F| < \mu_0 N \\ V > 0 &\implies F = -\mu(V) N \end{aligned}$$

Force de frottement  $F$



# Modélisation et approximation linéaire

# Vibrations non-linéaire: modélisation

- Equation du mouvement: système différentiel d'ordre 2 en temps:

$$M \frac{d^2 x}{dt^2} + C \frac{dx}{dt} + Kx + F_{nl} \left( x, \frac{dx}{dt} \right) = F(t)$$

- Equivalent à un système d'ordre 1 en posant  $y = \begin{pmatrix} y_1 \\ y_2 \end{pmatrix} = \begin{pmatrix} x \\ \frac{dx}{dt} \end{pmatrix}$

$$\frac{dy}{dt} = \begin{pmatrix} \frac{dx}{dt} \\ \frac{d^2 x}{dt^2} \end{pmatrix} = \begin{pmatrix} y_2 \\ M^{-1} [F(t) - C y_2 + K y_1 + F_{nl}(y_1, y_2)] \end{pmatrix} = g(y, t)$$

# Equilibre statique

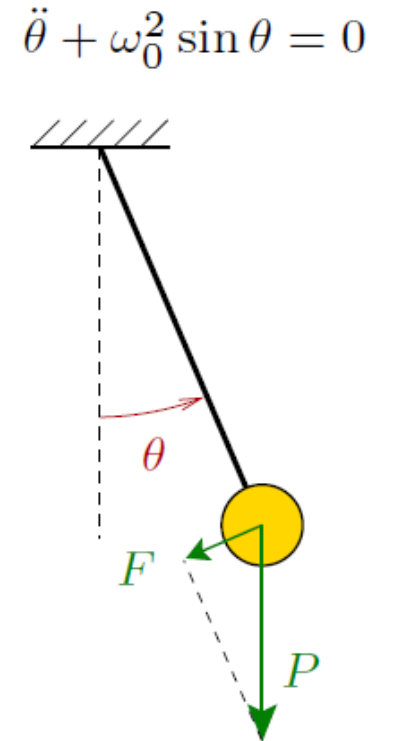
- Système dynamique

$$M \frac{d^2 x}{dt^2} + C \frac{dx}{dt} + Kx + F_{nl} \left( x, \frac{dx}{dt} \right) = F(t)$$

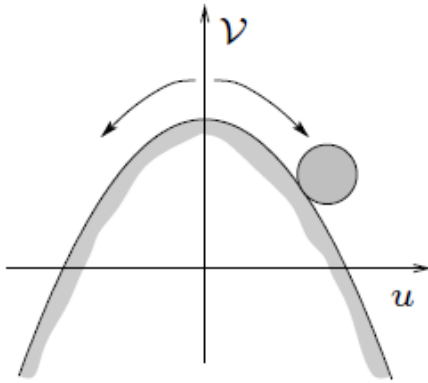
- Point d'équilibre statique ( $\frac{d^2 x}{dt^2} = \frac{dx}{dt} = 0$ ), solution de:

$$Kx_e + F_{nl}(x_e, 0) = 0$$

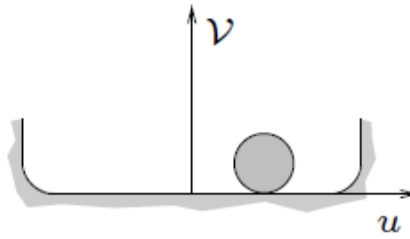
- Eventuellement plusieurs points d'équilibre  $x_e$  à cause de la non-linéarité.
  - Exemple du pendule:  $\theta_e = 0 [\pi]$



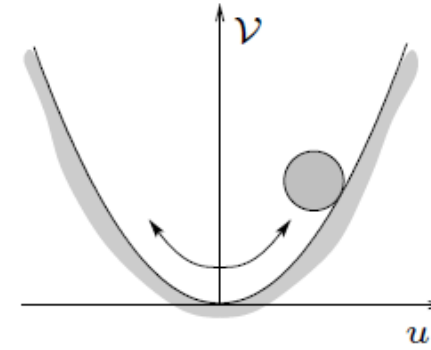
# Stabilité des points d'équilibres



*Équilibre instable*



*Équilibre indifférent*



*Équilibre stable*

Exemple du pendule:  $\theta_e = 0 [2\pi]$  stable

Exemple du pendule:  $\theta_e = \pi [2\pi]$  instable

# Linéarisation et petites perturbations

- Linéarisation de la dynamique autour d'un point d'équilibre

$$x(t) = x_e + z(t)$$

avec  $z$  une petite perturbation

- Développement de Taylor de la non-linéarité)

$$M\ddot{z} + \left( C + \frac{\partial F_{nl}}{\partial \dot{x}}(x_e) \right) \dot{z} + \left( K + \frac{\partial F_{nl}}{\partial x}(x_e) \right) z = F(t)$$

- Vibration linéaire pour  $z(t)$ :

$$M\ddot{z} + C_T \dot{z} + K_T z = F(t)$$

# Linéarisation et petites perturbations

- Vibration linéaire pour  $z(t)$ :

$$M\ddot{z} + C_T\dot{z} + K_Tz = F(t)$$

- Mode linéaire:

$$M\ddot{z} + K_Tz = 0$$

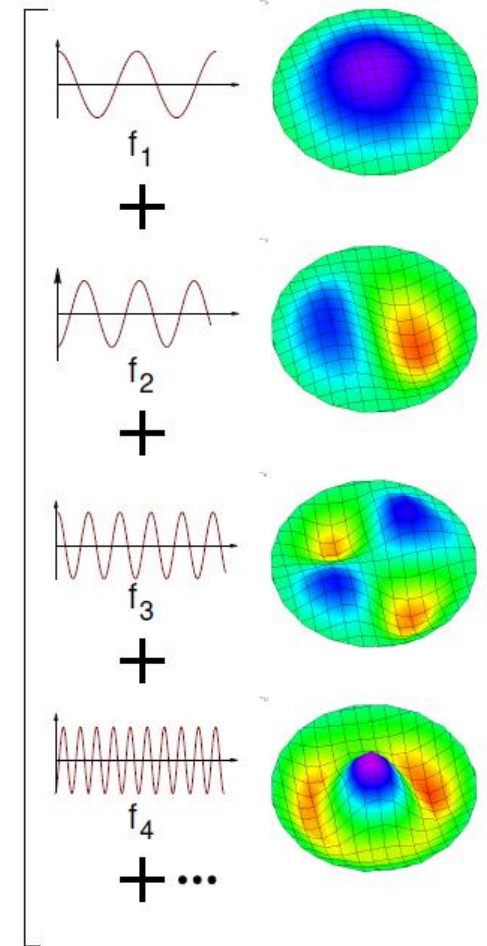
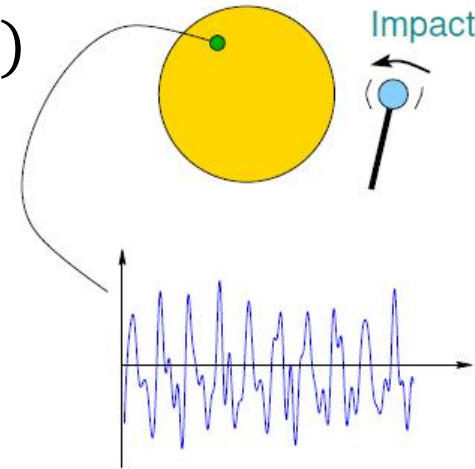
- Equation aux valeurs propres:

$$(K - \omega_i^2 M)\Phi_i = 0$$

- $\Phi_i$  et  $\omega_i$  constant

- Théorème de superposition (synthèse modale):

$$z(t) = \sum q_i(t) \Phi_i$$

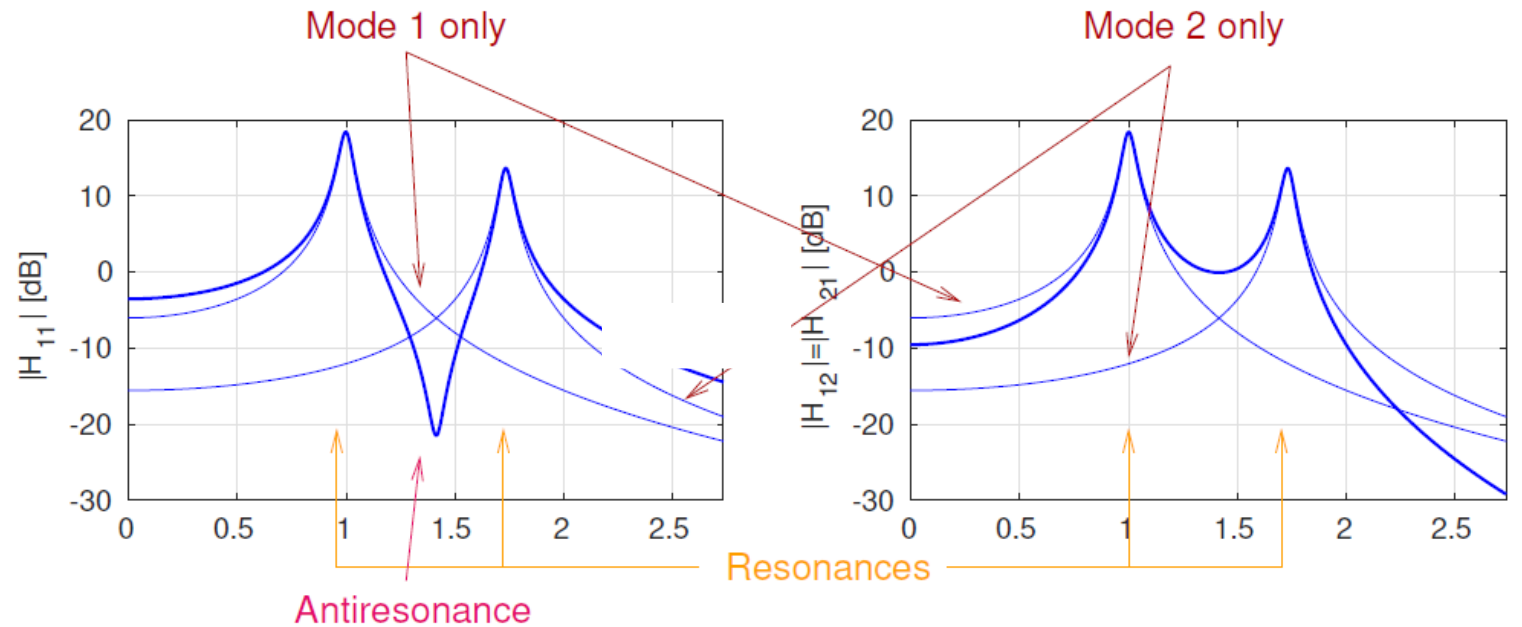
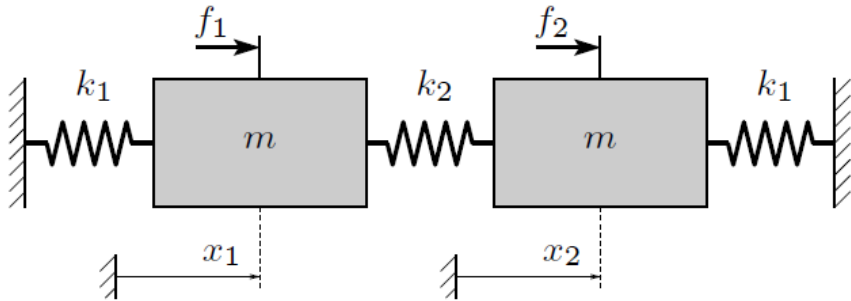




# Linéarisation et petites perturbations

- Phénomène de résonance linéaire (force harmonique)

$$M\ddot{z} + C_T\dot{z} + K_T z = F \cos(\Omega t)$$



# Vibrations non-linéaires et calcul des solutions périodiques

# Systèmes non-linéaires

$$M \frac{d^2 x}{dt^2} + C \frac{dx}{dt} + Kx + F_{nl} \left( x, \frac{dx}{dt} \right) = F(t)$$

- Pas de principe de superposition !
- Solutions
  - périodiques (stables / instables)
  - quasi périodique
  - chaotique

# Calcul des solutions périodiques

- Méthode analytique (perturbation)

$$M \frac{d^2 x}{dt^2} + C \frac{dx}{dt} + Kx + \epsilon F_{nl} \left( x, \frac{dx}{dt} \right) = F(t)$$

$$x(t) = x_0 + \epsilon x_1 + \epsilon^2 x_2 + \dots$$

- Exemple:
  - Méthode des échelles multiples
  - Méthode de Lindstedt
  - ...

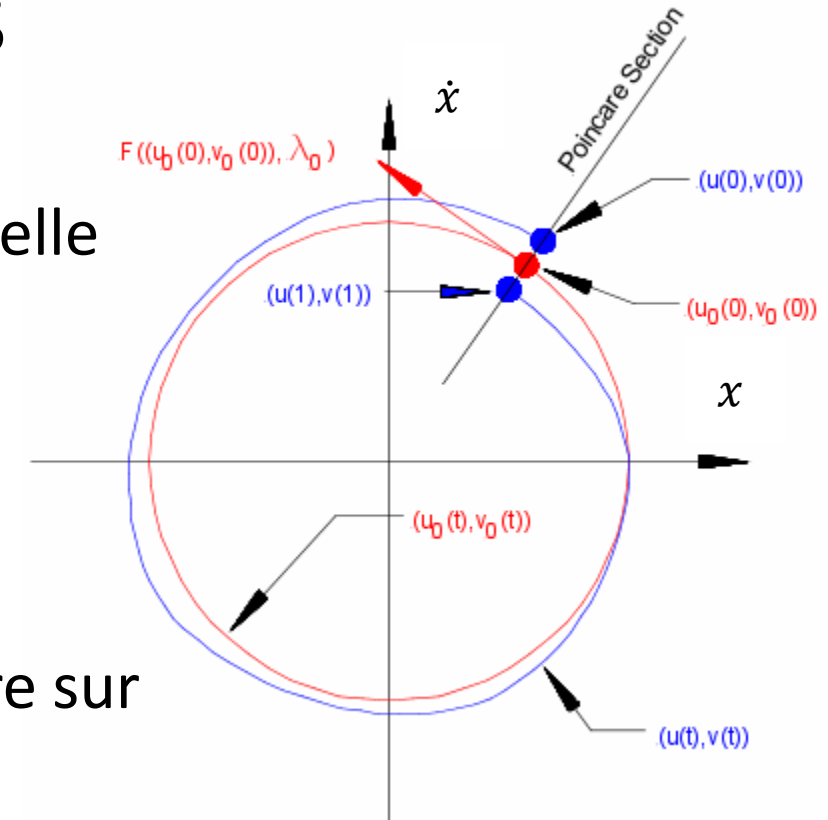
# Calcul des solutions périodiques

- Méthode numérique basée sur l'intégration temporelle (shooting)

$$M \frac{d^2 x}{dt^2} + C \frac{dx}{dt} + Kx + F_{nl} \left( x, \frac{dx}{dt} \right) = F(t)$$

- On part d'une condition initiale  $(x_0, \dot{x}_0)$  et on intègre sur une période pour obtenir  $(x(T), \dot{x}(T))$

- On modifie la condition initiale itérativement de sorte que  $(x(T), \dot{x}(T)) = (x_0, \dot{x}_0)$



# Méthode de l'équilibrage harmonique

- Méthode semi analytique: équilibrage harmonique

$$M \frac{d^2 x}{dt^2} + C \frac{dx}{dt} + Kx + F_{nl} \left( x, \frac{dx}{dt} \right) = F(t)$$

- On recherche  $x$  sous la forme d'une série de Fourier

$$x(t) = a_0 + \sum_k a_k \cos k\omega t + b_k \sin k\omega t$$

- On « équilibre » les harmoniques pour obtenir un système d'équation algébrique

$$G(a_k, b_k, \omega) = 0$$

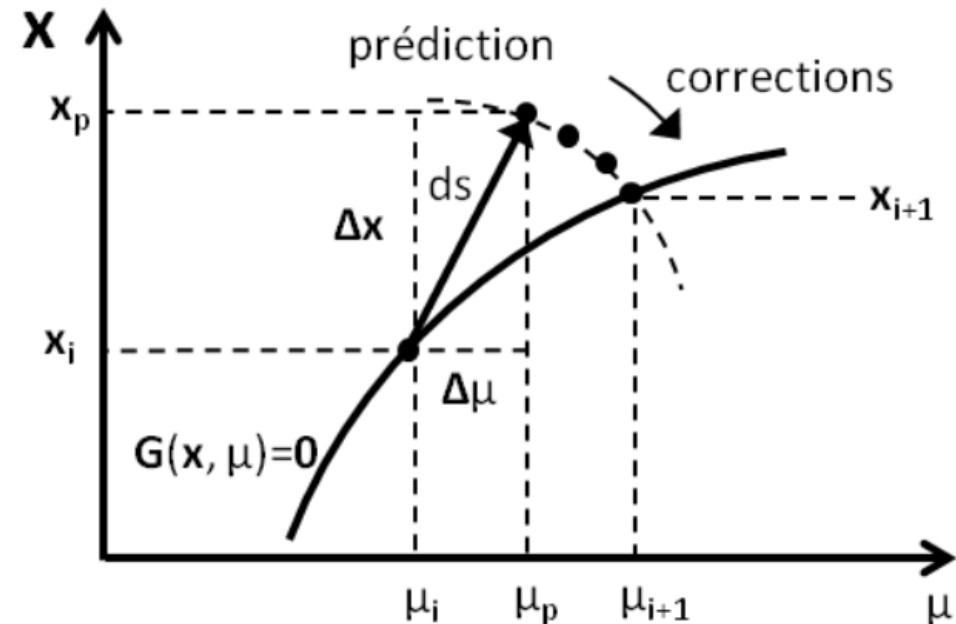
- On résout ensuite le système algébrique

# Résolution de système algébrique: Méthodes de continuation numérique

- Système algébrique dépendant d'un paramètre:

$$G(X, \mu) = 0$$

- Recherche des solutions sous forme paramétrée  $(X(s), \mu(s))$
- Méthode de prédiction/correction
- Méthode asymptotique (MAN)



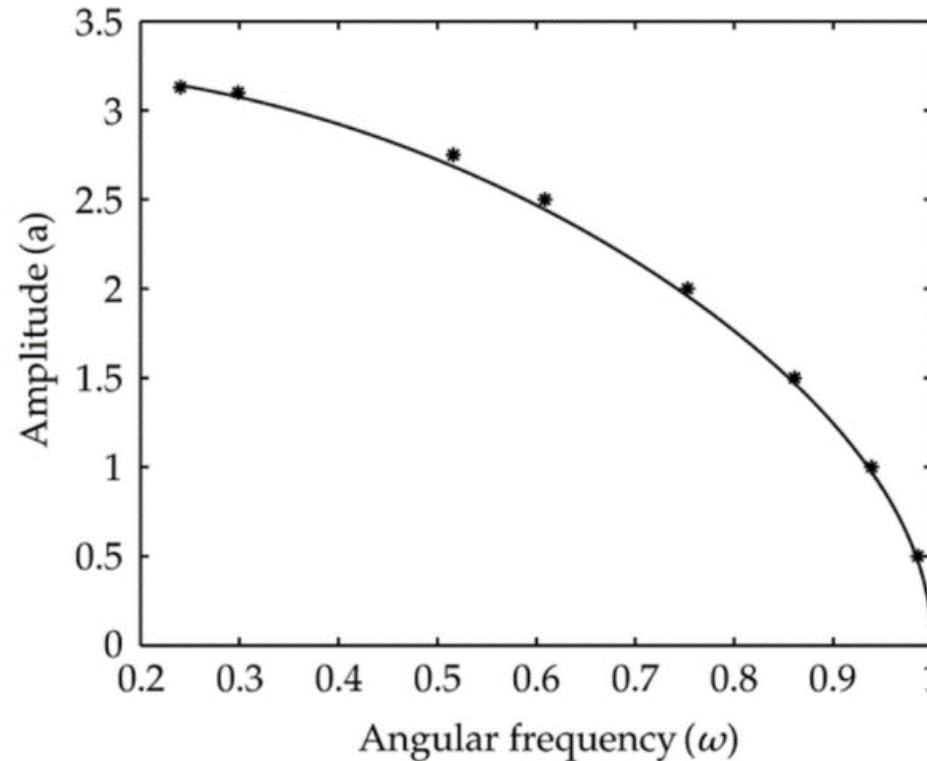
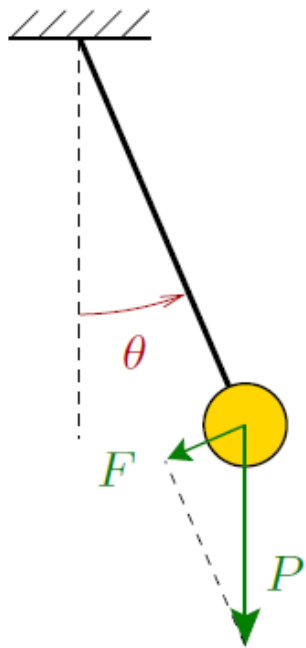
# Vibrations non-linéaires: Phénoménologie



# Vibrations non-linéaires: Phénoménologie

- Les fréquences naturelles peuvent dépendre de l'amplitude du mouvement (backbone curve)

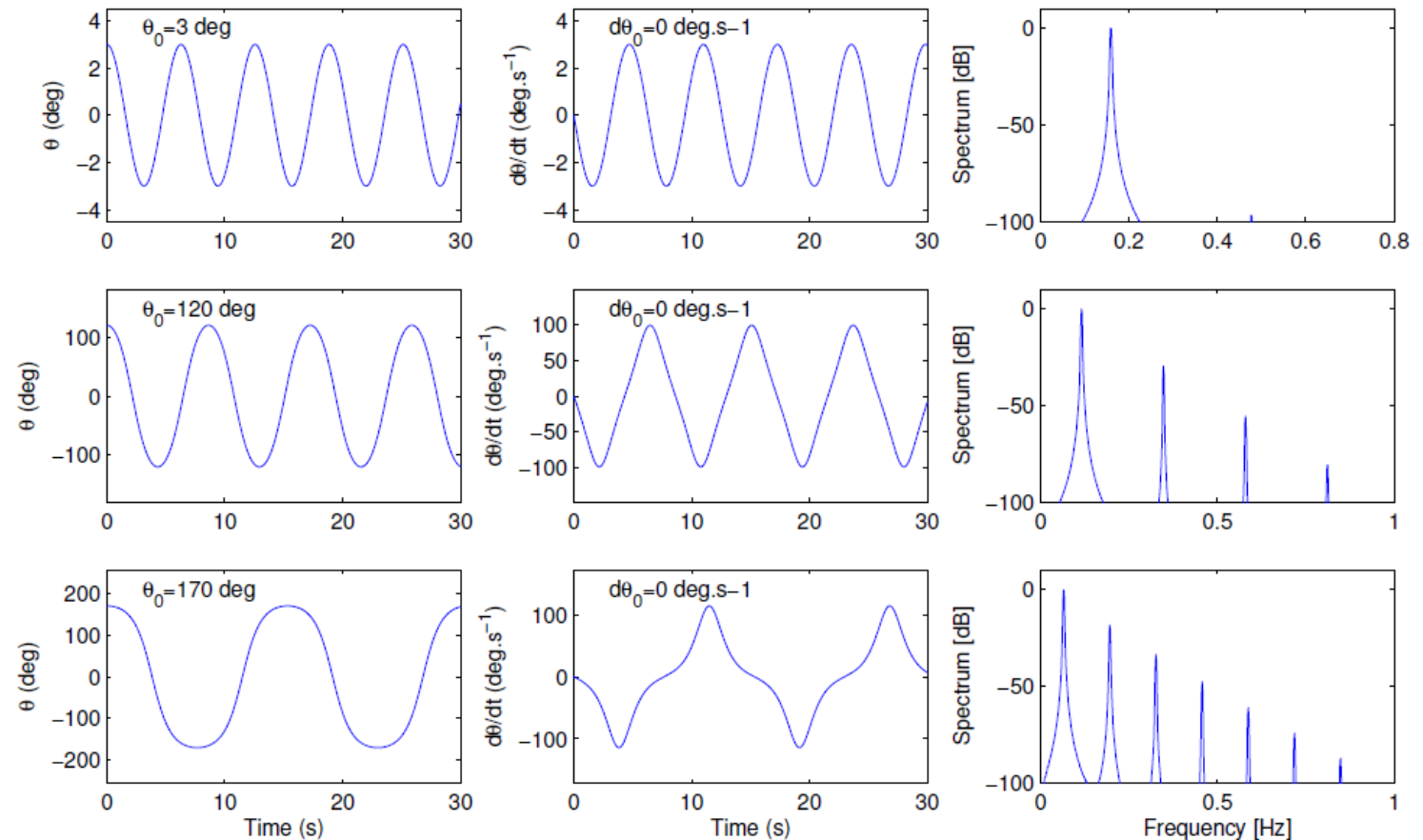
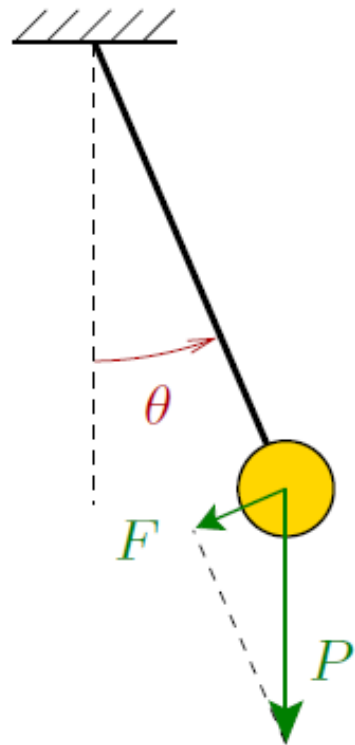
$$\ddot{\theta} + \omega_0^2 \sin \theta = 0$$



# Vibrations non-linéaires: Phénoménologie

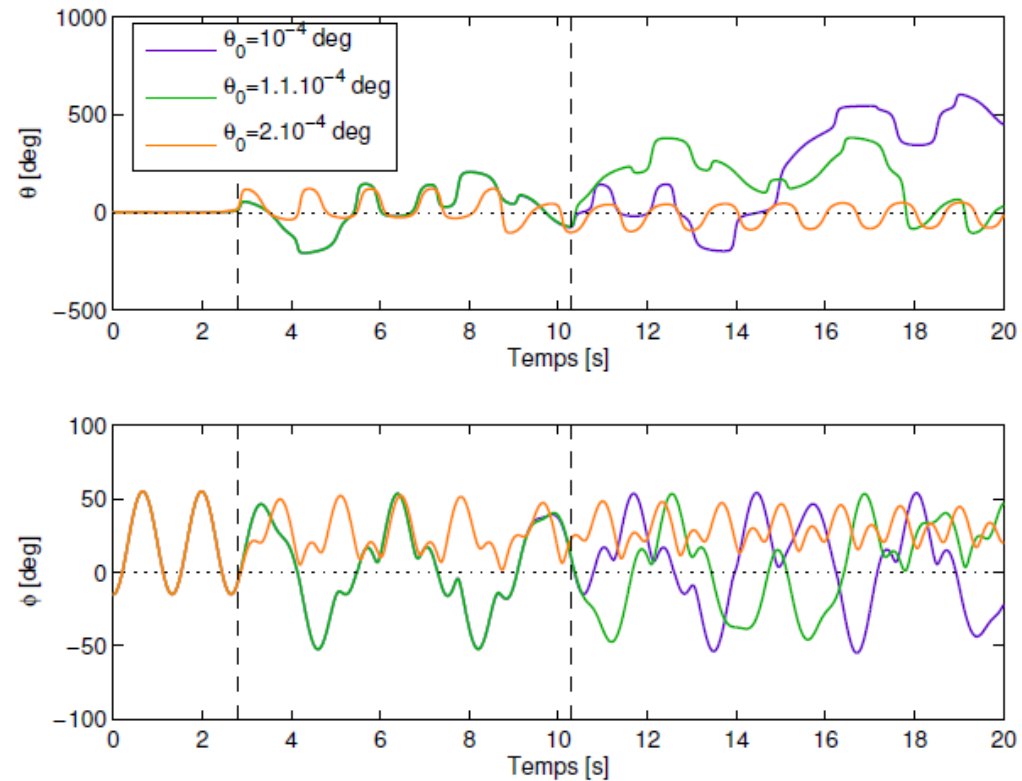
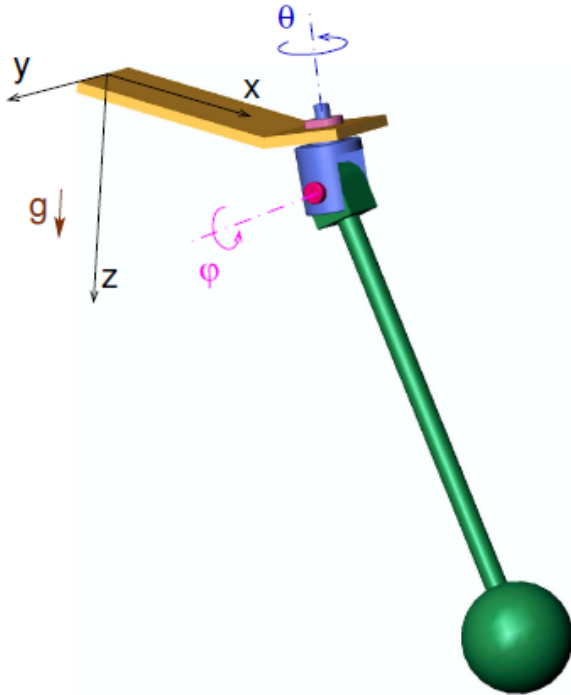
- Les non-linéarités engendrent de la distorsion harmonique

$$\ddot{\theta} + \omega_0^2 \sin \theta = 0$$



# Vibrations non-linéaires: Phénoménologie

- Sensibilité aux conditions initiales et solution chaotique



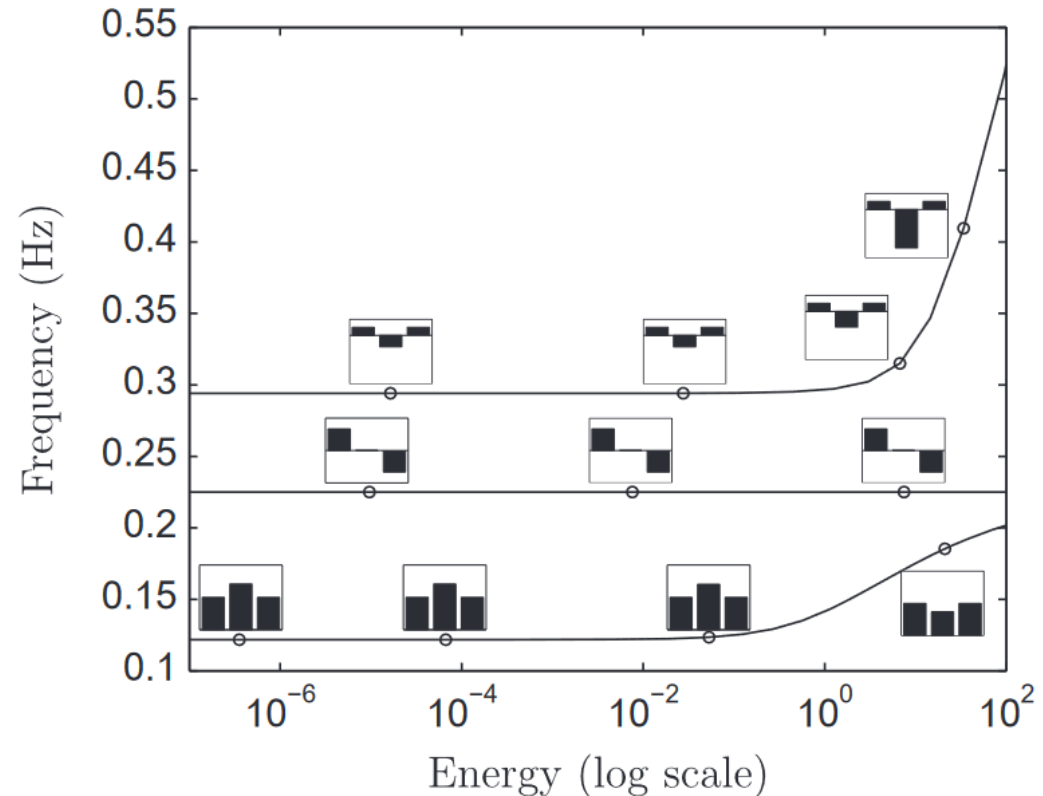
# Vibrations non-linéaires: Phénoménologie

- Notion de mode non linéaire (solution de l'équation libre sans amortissement)
- La forme des modes de vibration peut dépendre de l'amplitude de vibration

$$\ddot{x}_1 + (2x_1 - x_2) = 0$$

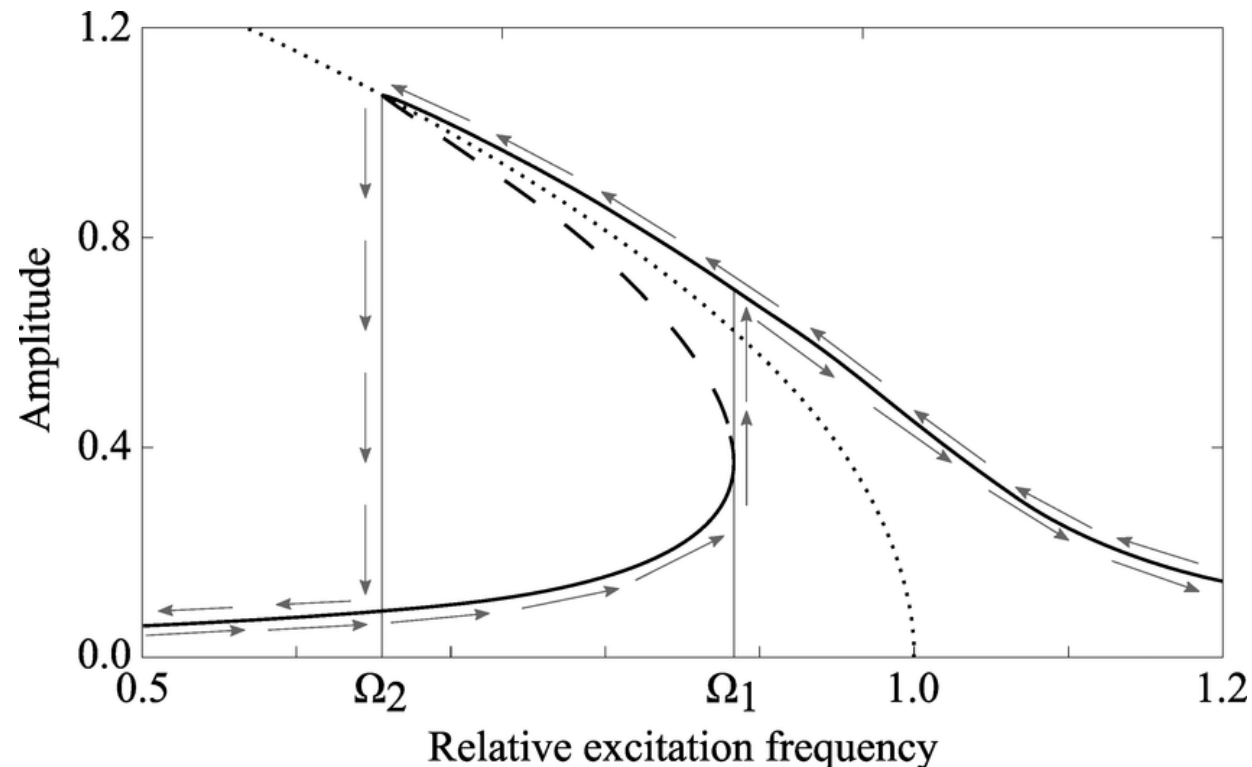
$$\ddot{x}_2 + (2x_2 - x_1 - x_3) + 0.5x_2^3 = 0$$

$$\ddot{x}_3 + (2x_3 - x_2) = 0$$



# Vibrations non-linéaires: Phénoménologie

- Les résonances non-linéaires s'organisent autour des « backbones curves »
- Phénomènes de saut

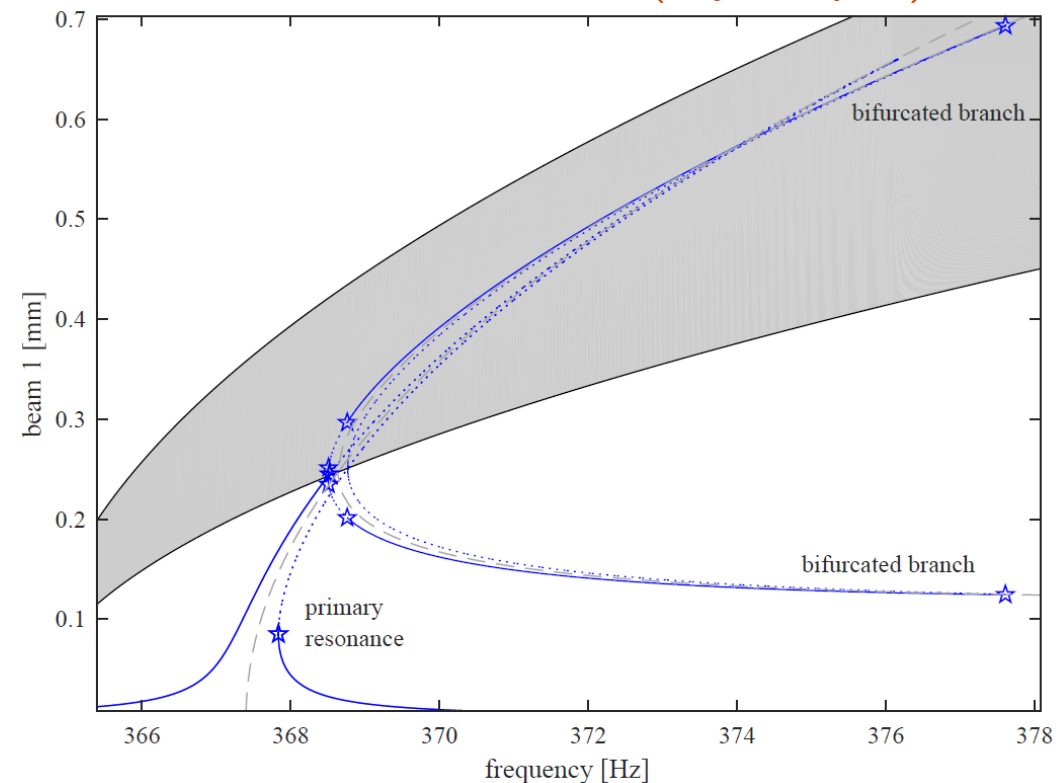
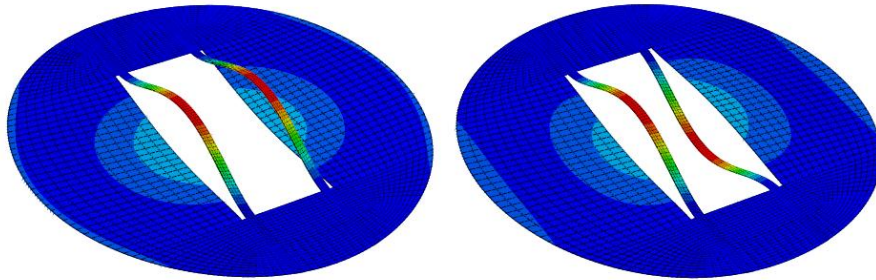


# Vibrations non-linéaires: Phénoménologie

- Les modes de vibrations peuvent se coupler au travers de la non-linéarité pour donner lieu à des comportements complexes
  - Ex: bifurcation vers un état de vibration localisé

- Two modes of interest

- in phase mode (first bending)  $f_1 \approx 363$  Hz
- out of phase mode (first bending)  $f_2 \approx 367$  Hz



# Conclusion

- Non-linéaire: tous ce qui n'est pas linéaire
- Système linéaire: approximation au premier ordre pour de faible amplitude
- Les non-linéarités révèlent leur effets lorsque les amplitudes augmentes, grande variété de phénomènes
- Plus de théorème de superposition
- Méthode de résolution spécifique